

ФОТОРОЖДЕНИЕ  $\eta$ -МЕЗОНОВ НА ПРОТОНАХ В РЕЗОНАНСНОЙ ОБЛАСТИ ЭНЕРГИИ

В.А. Трясучёв

Томский политехнический университет

E-mail: trs@npi.tpu.ru

Результаты прецизионного измерения сечений и  $T$ -асимметрии процесса  $\gamma p \rightarrow \eta p$  вблизи порога реакции в Майнце и Бонне (Германия) и результаты измерения  $\Sigma$ -асимметрии и  $d\sigma/d\Omega$  этого процесса при больших энергиях в Гренобле (Франция), а также экспериментальные данные прошлых лет были привлечены для построения изобарной модели процесса  $\gamma p \rightarrow \eta p$ . Модель включает одиннадцать нуклонных резонансов:  $S_{11}(1535)$ ,  $S_{11}(1650)$ ,  $P_{11}(1440)$ ,  $P_{13}(1720)$ ,  $D_{13}(1520)$ ,  $D_{13}(1675)$ ,  $F_{15}(1680)$ ,  $F_{17}(1990)$ ,  $G_{17}(2190)$ ,  $G_{19}(2250)$ ,  $H_{19}(2220)$  и фон, состоящий из нуклонного полюса и  $t$ -канального вклада в амплитуду векторных мезонов. Для описания экспериментальной зависимости полного сечения от энергии фотонов наряду с  $S_{11}(1535)$  потребовался резонанс  $S_{11}(1650)$ . Вычисленные дифференциальные и полные сечения, а также  $\Sigma$ -асимметрия процесса  $\gamma p \rightarrow \eta p$  для энергий фотонов вплоть до 2 ГэВ, хорошо согласуются с экспериментальными данными. Для энергий фотонов выше 2 ГэВ, амплитуда процесса становится существенно зависимой от вкладов  $\rho$ - и  $\omega$ -мезонов, связь которых с нуклонами до сих пор остаётся не определённой. Рассмотрены варианты различных  $t$ -канальных продолжений модели в область высоких энергий.

## Введение

Сведения об электромагнитных свойствах нуклонных резонансов необходимы сегодня для построения динамических кварковых моделей барионов. Основным источником таких сведений остаются исследования фоторождения  $\pi$ -мезонов на нуклонах и ядрах. Из-за большого количества участвующих в процессах фотообразования пионов  $\Delta$ - и  $N$ -резонансов пока нельзя сказать, что эти свойства резонансов с массами выше 1500 МэВ/с<sup>2</sup> хорошо известны. В отличие от фотообразования пионов в процесс фотообразования  $\eta$ -мезонов

$$\gamma + p \rightarrow \eta + p \quad (1)$$

в качестве промежуточных частиц вовлекаются только  $N$ -резонансы с изоспином  $I=1/2$  с отделением их проявлений от многочисленных близких по массе  $\Delta$ -резонансов (с  $I=3/2$ ). Заметим также, что при внешней схожести процесса (1) с процессом фоторождения пионов на нуклонах между ними существует принципиальное отличие: в состав  $\eta$ -мезона входит странный кварк, в то время как в состав пионов входят только обычные  $u$ - и  $d$ -кварки.

Помимо основной цели – получения информации об электромагнитных свойствах резонансов, модель фоторождения  $\eta$ -мезонов на нуклонах в широком интервале энергий необходима для корректного вычисления сечений фотообразования  $\eta$ -мезонов на ядрах, играющих важную роль в изучении последующего  $\eta$ -ядерного взаимодействия в конечном состоянии. Современная модель фоторождения  $\eta$  на нуклонах нужна также при оценке фонов, сопровождающих всевозможные эксперименты.

## 1. Описание модели

В системе центра масс (с.ц.м.) амплитуду  $F$  фоторождения псевдоскалярных мезонов на нуклонах запишем в виде [1]

$$F = iF_1 \vec{\sigma} \cdot \vec{\varepsilon} + F_2 \vec{\sigma} \cdot \hat{\vec{q}} \cdot (\hat{\vec{k}} \times \vec{\varepsilon}) + iF_3 \vec{\sigma} \cdot \hat{\vec{k}} \hat{\vec{q}} \cdot \vec{\varepsilon} + iF_4 \vec{\sigma} \cdot \hat{\vec{k}} \hat{\vec{q}} \cdot \vec{\varepsilon}, \quad (2)$$

где  $\vec{\sigma}$  – спиновые операторы нуклонов,  $\hat{\vec{k}} = \vec{k}/k$  и  $\hat{\vec{q}} = \vec{q}/q$ , а  $k$  и  $q$  – импульсы фотона и мезона в с.ц.м.,  $\vec{\varepsilon}$  – вектор поляризации фотона в кулоновской калибровке в рассматриваемой системе координат. Величины  $F_i$  есть функции полной энергии  $W$  и угла вылета мезона  $\theta$  в с.ц.м. В представлении углового момента  $F_i$  выражаются через сумму мультипольных амплитуд электрического,  $E_{\pm}$ , и магнитного,  $M_{\pm}$ , типов [1, 2]:

$$\begin{aligned} F_1 &= \sum_{l=0}^{\infty} [M_{l+} + E_{l+}] P'_{l+1}(x) + \sum_{l=2}^{\infty} [(l+1)M_{l-} + E_{l-}] P'_{l-1}(x), \\ F_2 &= \sum_{l=1}^{\infty} [(l+1)M_{l+} + lM_{l-}] P'_l(x), \\ F_3 &= \sum_{l=1}^{\infty} [-M_{l+} + E_{l+}] P''_{l+1}(x) + \sum_{l=3}^{\infty} [M_{l-} + E_{l-}] P''_{l-1}(x), \\ F_4 &= \sum [M_{l+} - E_{l+} - M_{l-} - E_{l-}] P'_l(x), \end{aligned} \quad (3)$$

где  $P_l(x) = P_l(\cos\theta)$  – полиномы Лежандра. Наблюдаемые величины процесса (1) выражаются через амплитудные функции  $F_i$  следующим образом.

Дифференциальное сечение  $\frac{d\sigma}{d\Omega}$ :

$$\begin{aligned} \frac{d\sigma}{d\Omega} &= \frac{q}{k} \{ |F_1|^2 + |F_2|^2 - 2 \operatorname{Re}(F_1 F_2^*) \cos \theta + \\ &+ \frac{1}{2} [|F_3|^2 + |F_4|^2 + 2 \operatorname{Re}(F_1 F_4^*) + 2 \operatorname{Re}(F_2 F_3^*) + \\ &+ 2 \operatorname{Re}(F_3 F_4^*) \cos \theta] \sin^2 \theta \}. \end{aligned} \quad (4)$$

$\Sigma$ -асимметрия, вызванная линейной поляризацией пучка фотонов параллельно и перпендикулярно плоскости реакции:

$$\begin{aligned} \Sigma \frac{d\sigma}{d\Omega} &= -\frac{q}{k} \frac{\sin^2 \theta}{2} [|F_3|^2 + |F_4|^2 + \\ &+ 2 \operatorname{Re}(F_2 F_3^* + F_1 F_4^* + F_3 F_4^* \cos \theta)]. \end{aligned} \quad (5)$$

$T$ -асимметрия, связанная с поляризацией нуклонов мишени в направлении, перпендикулярном плоскости реакции:

$$\begin{aligned} T \frac{d\sigma}{d\Omega} &= \frac{q}{k} \sin \theta \operatorname{Im}[F_1 F_3^* - F_2 F_4^* + \\ &+ (F_1 F_4^* - F_2 F_3^*) \cos \theta - F_3 F_4^* \sin^2 \theta]. \end{aligned} \quad (6)$$

$P$ -асимметрия, как следствие наблюдения поляризации протонов отдачи, в направлении, перпендикулярном плоскости реакции:

$$P \frac{d\sigma}{d\Omega} = \frac{q}{k} \sin \theta \operatorname{Im}[F_2 F_4^* - 2F_1 F_2^* - F_1 F_3^* + (F_2 F_3^* - F_1 F_4^*) \cos \theta + F_3 F_4^* \sin^2 \theta]. \quad (7)$$

В настоящее время существуют подробные модели для процесса (1), хорошо воспроизводящие сечения вблизи порога реакции [3–7]. С увеличением энергии фотонов в процесс (1) в качестве промежуточных частиц будут активно вовлекаться резонансы с большими угловыми моментами благодаря относительно большой массе  $\eta$ -мезона. Учет таких резонансов не всегда укладывается в схемы вышеупомянутых пороговых моделей [4, 6, 7], поэтому мы остановились на изобарной модели фоторождения  $\eta$ -мезонов на нуклонах. Напомним, что эта модель учитывает  $s$ -канальные вклады резонансов и фон, который в нашем случае состоит из нуклонного полюса в  $s$ - и  $u$ -каналах и вкладов векторных  $\rho$ - и  $\omega$ -мезонов в  $t$ -канал. Мультипольные амплитуды фоторождения  $\eta$ -мезонов на протонах рассматривались как резонансные и записывались в форме Брейта-Вигнера [8]:

$$E_{l\pm} = \frac{ie^{i\Phi_r} (\Gamma_{\gamma p}^E \Gamma_{\eta p})^{1/2}}{2[kqj(j+1)]^{1/2} (W_r - W - \frac{1}{2}i\Gamma)}, \quad (8)$$

и аналогично для  $M_{l\pm}$  – амплитуд. Здесь  $l$  – орбитальный угловой момент мезона;  $j = l \pm 1$  соответственно для  $E_{l\pm}$  и  $j = l$  для  $M_{l\pm}$ . Индексы при  $l$  указывают на полный угловой момент  $J = l \pm 1/2$  системы мезон-нуклон;  $W_r$  обозначает полную энергию системы, равную положению резонанса. Зависимость полных ширин резонансов  $\Gamma$  от энергии выбирали как в работе [8]:

$$\Gamma = \sum_{\alpha} \frac{p v_l(pR)}{p_r v_l(p_r R)} \Gamma_{\alpha r}, \quad (9)$$

где  $\Gamma_{\alpha r}$  – парциальные ширины распада в канал  $\alpha$ ;  $p, p_r$  – импульсы мезонов от двухчастичных распадов резонансов, причём первый соответствует энергии  $W$ , а второй  $W=W_r$ ;  $v_l(x)$  – барьерные факторы, зависящие от орбитального момента мезона  $l$ . Для  $l \leq 3$ ,  $v_l(x)$  известны [2], но для больших  $l$  их аналитический вид не встречается в литературе, поэтому приводим здесь выражения  $v_l(x)$ , используемые в нашей модели.

$$\begin{aligned} v_0(x) &= 1, \\ v_1(x) &= \frac{x^2}{1+x^2}, \\ v_2(x) &= \frac{x^4}{9+3x^2+x^4}, \\ v_3(x) &= \frac{x^6}{225+45x^2+6x^4+x^6}, \\ v_4(x) &= \frac{x^8}{11025+1575x^2+135x^4+10x^6+x^8}, \\ v_5(x) &= \frac{x^{10}}{893025+99225x^2+6300x^4+315x^6+15x^8+x^{10}}. \end{aligned} \quad (10)$$

В выражении (9) и далее  $R$  – радиус сильного взаимодействия, который не варьировался и брался равным 1 Фм. Для всех резонансов, кроме  $S_{11}(1535)$ , сумма в (9) ограничивалась одним однопионным каналом распада резонансов, а для  $S_{11}(1535)$ , в виду большой доли его распада в канал  $\eta N$ , полагали

$$\Gamma = (0,5q/q_r + 0,4p/p_r + 0,1)\Gamma_r, \quad (11)$$

где  $q$  и  $p$  – импульсы  $\eta$ - и  $\pi$ -мезона в с.ц.м. соответственно для полной энергии  $W$  и, с индексами  $r$ , для  $W=W_r$ ;  $\Gamma_r$  – ширины резонансов в системе, где резонанс покоится.

Электромагнитные,  $\Gamma_{\gamma p}^{E,M}$ , и сильные,  $\Gamma_{\eta p}$ , вершины резонансных мультипольных амплитуд (8) параметризовались в виде произведений [8]:

$$(\Gamma_{\gamma p}^{E,M} \Gamma_{\eta p})^{1/2} = \{[2kR v_n(kR)][2qR v_l(qR)]\}^{1/2} \gamma^{E,M} \quad (12)$$

с  $n = l$ , кроме мультипольных амплитуд  $E_r$ , для которых  $n = l - 2$ . Размерные величины  $\gamma^{E,M}$ , наряду с основными характеристиками резонансов  $W_r$  и  $\Gamma_r$ , рассматривались как подгоночные параметры модели.

Фон учитывался прямыми вкладами в амплитудные функции  $F_i$ .

Для нуклонного полюса [5]:

$$\begin{aligned} F_1 &= e g_{\eta NN} \frac{W+m}{8\pi W} \sqrt{\frac{E_f+m}{E_i+m}} k [e_N + \mu_N] \left( \frac{1}{s-m^2} + \frac{1}{u-m^2} \right), \\ F_2 &= -e g_{\eta NN} \frac{W-m}{8\pi W} \sqrt{\frac{E_i+m}{E_f+m}} q [e_N + \mu_N] \left( \frac{1}{s-m^2} + \frac{1}{u-m^2} \right), \\ F_3 &= 2e g_{\eta NN} \frac{W+m}{8\pi W} \sqrt{\frac{E_f+m}{E_i+m}} q k \left[ \frac{e_N}{W+m} + \frac{\mu_N}{2m} \right] \frac{1}{u-m^2}, \\ F_4 &= -2e g_{\eta NN} \frac{W-m}{8\pi W} \sqrt{\frac{E_i+m}{E_f+m}} q^2 \left[ \frac{e_N}{W-m} - \frac{\mu_N}{2m} \right] \frac{1}{u-m^2}, \end{aligned} \quad (13)$$

где  $m$  – масса нуклона,  $g_{\eta NN}$  – константа псевдоскалярной связи мезона с нуклонами,  $e_N$  – заряд нуклона в единицах заряда электрона,  $e^2/4\pi$  – постоянная тонкой структуры,  $\mu_N$  – аномальный магнитный момент нуклона ( $\mu_p = 1,79$ ,  $\mu_n = -1,91$ ). Вклад нуклонного полюса в амплитуду изучаемого процесса оказался мал при всех разумных значениях констант связи  $g_{\eta NN}$ , а потому нами взято значение  $g_{\eta NN}^2/4\pi = 0,4$  как в работах [5, 7, 9].

Для вкладов в  $t$ -канал векторных мезонов,  $V$ , можно получить [5]:

$$\begin{aligned} F_1 &= e \lambda_V \frac{W+m}{8\pi W m_\eta} \sqrt{\frac{E_f+m}{E_i+m}} k \times \\ &\times \left[ \frac{G_{VNN}^t}{2m} t - G_{VNN}^v (W-m + \frac{t-m_\eta^2}{2(W-m)}) \right] \frac{1}{t-m_V^2}, \\ F_2 &= -e \lambda_V \frac{W-m}{8\pi W m_\eta} \sqrt{\frac{E_i+m}{E_f+m}} \times \\ &\times q \left[ \frac{G_{VNN}^t}{2m} t + G_{VNN}^v (W+m + \frac{t-m_\eta^2}{2(W+m)}) \right] \frac{1}{t-m_V^2}, \end{aligned}$$

$$\begin{aligned}
F_3 &= -e\lambda_V \frac{W+m}{8\pi W m_\eta} \sqrt{\frac{E_f+m}{E_i+m}} \times \\
&\times kq \left[ \frac{G'_{VNN}}{2m} (W-m) - G'_{VNN} \right] \frac{1}{t-m_V^2}, \\
F_4 &= e\lambda_V \frac{W-m}{8\pi W m_\eta} \sqrt{\frac{E_i+m}{E_f+m}} \times \\
&\times q^2 \left[ \frac{G'_{VNN}}{2m} (W+m) + G'_{VNN} \right] \frac{1}{t-m_V^2}. \quad (14)
\end{aligned}$$

Здесь  $\lambda_V$  – константы связи электромагнитных вершин ( $\gamma\eta V$ ).

$$G_{VNN}^{v,t} = g_{VNN}^{v,t} G'(t), \quad (15)$$

где  $g_{VNN}^v$ ,  $g_{VNN}^t$  – векторная и тензорная константы связи вершин ( $VNN$ ) с формфакторами  $G'(t)$ .

В то время как  $\lambda_V$  достаточно точно определяют-ся из вероятностей радиационных распадов векторных мезонов (см. например [9]), то  $g_{VNN}^v$ ,  $g_{VNN}^t$  определены плохо для обоих  $\rho$ - и  $\omega$ -мезонов и, фактически, являются подгоночными параметрами в подобного рода моделях. Если в вершинах ( $VNN$ ) положить  $G'(t) = 1$ , как это делалось в анализах у порога реакции авторами работы [7], то для энергий налетающих фотонов 1,5 ГэВ, амплитуда процесса (1) будет целиком определяться вкладом векторных мезонов, а сечение – увеличиваться неограниченно с ростом энергии. Включение формфакторов в нуклонные вершины ( $VNN$ ) значительно уменьшает как само сечение для  $K_0 > 1,5$  ГэВ, так и его рост, но не останавливает последнего: при  $K_0 \rightarrow \infty$ ,  $\sigma \rightarrow \infty$ . Поэтому, для  $K_0 > 2$  ГэВ амплитуда процесса (1) начинает зависеть от выбора формфакторов  $G'(t)$ . В работе рассматривались формфакторы двух типов:

$$G'(t) = \left( \frac{\Lambda_V^2 - m_V^2}{\Lambda_V^2 - t} \right)^n \quad (16)$$

с  $n=1$  (монопольного типа [6, 7]) и  $n=2$  (дипольного типа [5, 9, 10]) и разными обрезаящими множителями  $\Lambda_V$ . Несколько наборов констант для описания вкладов векторных мезонов в  $t$ -канале, полученных разными авторами, приведены в табл. 1. Следует иметь в виду, что все наборы, кроме последнего, использовались для описания низкоэнергетических ( $K_0 \leq 1,1$  ГэВ) наблюдаемых процесса (1). В нашу задачу входило построение такой изобарной модели, которая бы давала хорошее описание низкоэнергетических опытных данных и имела бы "правильную" асимптотику при больших энергиях ( $K_0 > 2$  ГэВ).

Следует отметить, что вклады векторных мезонов и нуклонного полюса входят в амплитуду процесса (1) с разными знаками, а потому гасят друг друга, и, особенно сильно, в интервале энергий 0,78...1,0 ГэВ. Кстати, роль фона в нашей модели будет играть вклад резонанса  $P_{11}(1440)$ , который по

массе меньше порога реакции (1) и имеет большую ширину. В отличие от других авторов мы учли время жизни векторных мезонов, сделав замену пропагаторов в выражениях (14)

$$\frac{1}{t-m_V^2} \rightarrow \frac{1}{t-m_V^2 - im_V \Gamma_V},$$

где  $\Gamma_V$  – полные ширины векторных мезонов. Хотя в этом случае фон из вещественного становится комплексным, к сколько-нибудь заметному результату это не привело.

**Таблица 1.** Константы связи векторных мезонов, используемые в данной работе для описания  $t$ -канала амплитуды процесса  $\gamma p \rightarrow \eta p$

| Ме-<br>зоны | Масса,<br>МэВ | $\frac{(g_{VNN}^v)^2}{4\pi}$ | $\frac{(g_{VNN}^t)^2}{4\pi}$ | $\lambda_V$ | $\Lambda_V$ ,<br>ГэВ | Источник<br>литера-<br>туры |
|-------------|---------------|------------------------------|------------------------------|-------------|----------------------|-----------------------------|
| $\rho$      | 770           | 0,50                         | 18,6                         | 0,89        | 1,80                 | [5]                         |
| $\omega$    | 782           | 23,0                         | 0                            | 0,192       | 1,40                 |                             |
| $\rho$      | 770           | 0,55                         | 20,5                         | 1,06        | 1,089                | [6]                         |
| $\omega$    | 782           | 8,11                         | 0,20                         | 0,31        | 1,106                |                             |
| $\rho$      | 768,5         | 0,458                        | 17,5                         | 0,81        | 1,3                  | [9]                         |
| $\omega$    | 782,6         | 20,37                        | 0                            | 0,291       | 1,3                  |                             |
| $\rho$      | 768,5         | 0,458                        | 1,09                         | 0,81        | 1,0                  | [10]                        |
| $\omega$    | 782,6         | 6,45                         | 0                            | 0,29        | 1,3                  |                             |

## 2. Обсуждение результатов

Соединяя с рассматриваемым процессом одиннадцать названных резонансов и меняя их основные свойства в рамках рекомендованных работой [11], поэтапно (см. табл. 2 – итог работ [12, 13]), мы добились хорошего описания имеющихся экспериментальных данных. В начале, как это видно из табл. 2, в качестве подгоночных параметров фигурировали и фазы  $\Phi$ , резонансных мультипольных амплитуд, но затем, с включением фона и увеличением числа резонансов, участвующих в процессе (1), необходимости в этом не стало. Результат подгонки амплитуды с одиннадцатью резонансами и фоном, как в работе [9], к имевшимся в нашем распоряжении экспериментальным данным показан в табл. 3.

Для энергий фотонов ниже 1 ГэВ главные роли в процессе (1) по нашей модели играют резонансы  $S_{11}(1535)$ ,  $S_{11}(1650)$  и  $P_{13}(1720)$  с почти неизменными, по сравнению с результатом низко энергетического варианта подгонки, параметрами (сравните табл. 2 и 3). Существенно в модели изменилась только роль резонанса  $F_{15}(1680)$ , для которого раньше был получен слишком одиозный результат, отличающийся на порядок от величины рекомендованной работой [11]. Включение резонанса  $D_{15}(1675)$  сильно понизило роль  $F_{15}(1680)$  в исследуемом процессе и позволило избавиться от фазовой зависимости резонансных мультипольных амплитуд, то есть фазовые множители в выражении (8) для всех резонансов полагались равными 1. Естественный фон у порога реакции в виде нуклонного полюса позволил так же уменьшить роль резонанса  $P_{11}(1440)$  в рассматриваемом процес-

се. Следует заметить, что полученный результат является результатом только визуальной подгонки и показан на рис. 1–7 сплошными кривыми.

**Таблица 2.** Свойства 6 резонансов, полученные с помощью феноменологического анализа процесса  $\gamma p \rightarrow \eta p$  от порога реакции до энергии фотонов 1200 МэВ в чисто изобарной модели (без учёта фона) в работах [12, 13]

| N'-резонансы   | $W_R$ ,<br>МэВ | $\Gamma_R$ ,<br>МэВ | $\gamma^E$ ,<br>МэВ | $\gamma^M$ ,<br>МэВ | $\Phi_R$ ,<br>град |
|----------------|----------------|---------------------|---------------------|---------------------|--------------------|
| $S_{11}(1535)$ | 1535           | 158                 | 2,15                | –                   | 0                  |
| $S_{11}(1650)$ | 1645           | 120                 | -0,550              | –                   | 4,0                |
| $P_{11}(1440)$ | 1440           | 350                 | –                   | 0,450               | 0                  |
| $P_{13}(1720)$ | 1718           | 140                 | -0,085              | 0,409               | 132,0              |
| $D_{13}(1520)$ | 1520           | 120                 | 0,200               | 0,330               | 0                  |
| $F_{15}(1680)$ | 1678           | 120                 | 0,190               | 0,800               | 18,0               |

Определяющий вклад в сечение процесса (1), как это неоднократно отмечалось, принадлежит резонансу  $S_{11}(1535)$ , наиболее сильно связанному с каналом распада в  $\eta N$ . Однако только этого s-волнового вклада в процесс (1) недостаточно для удовлетворительного описания полученной в эксперименте энергетической зависимости полных сечений в обсуждаемой области. Только при включении в амплитуду вклада от резонанса  $S_{11}(1650)$ , в качестве "контрвклада" доминирующему резонансу, было получено согласие с экспериментами двух лабораторий (см. рис. 1).

Если через  $\Gamma_\gamma$  обозначить полную радиационную ширину резонансов, то для резонанса  $S_{11}(1535)$  из табл. 3, имеем

$$\Gamma_\gamma/\Gamma_r \approx 0,345 \%,$$

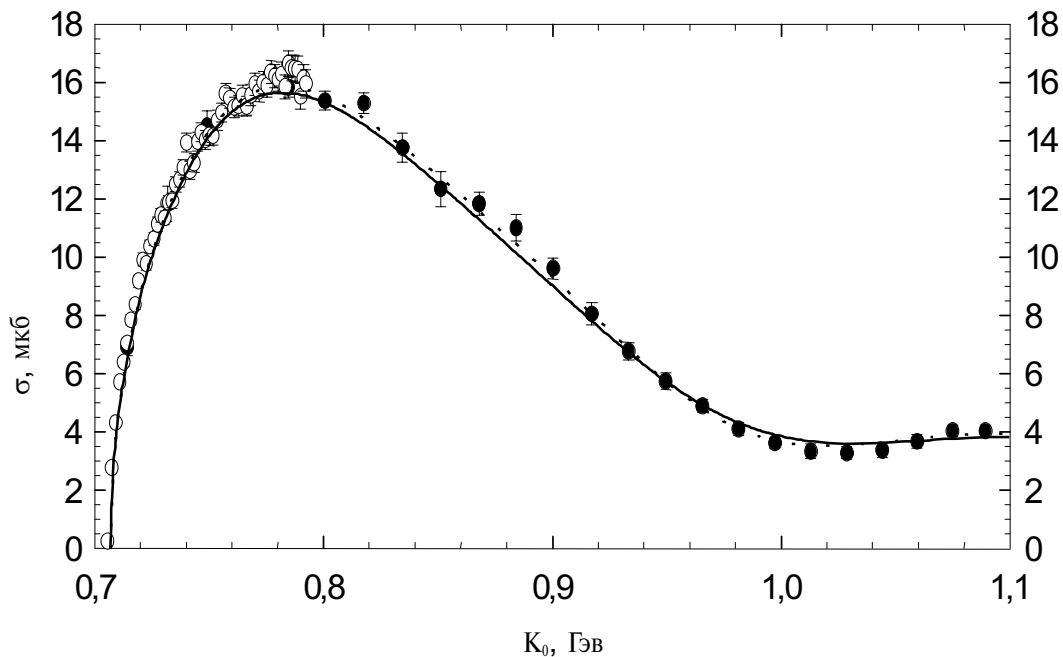
что совпадает с наибольшим рекомендованным работой [11] значением этого отношения. Этот же результат можно представить и в другом виде:

$$\Gamma_\gamma \Gamma_\gamma/\Gamma_r = 0,27 \text{ МэВ}.$$

**Таблица 3.** Параметры 11 резонансов, полученные из подгонки наблюдаемых величин процесса  $\gamma p \rightarrow \eta p$  к имеющимся низкоэнергетическим ( $K_0 < 1,2 \text{ ГэВ}$ ) экспериментальным данным, с учётом фона как в работе [9]

| N'-резонансы   | $W_R$ ,<br>МэВ | $\Gamma_R$ ,<br>МэВ | $\gamma^E$ ,<br>МэВ | $\gamma^M$ ,<br>МэВ |
|----------------|----------------|---------------------|---------------------|---------------------|
| $S_{11}(1535)$ | 1535           | 158                 | 2,16                | –                   |
| $S_{11}(1650)$ | 1642           | 140                 | -0,590              | –                   |
| $P_{11}(1440)$ | 1440           | 350                 | –                   | 0,250               |
| $P_{13}(1720)$ | 1722           | 145                 | -0,105              | 0,430               |
| $D_{13}(1520)$ | 1520           | 120                 | 0,200               | 0,330               |
| $D_{13}(1675)$ | 1673           | 150                 | 0,115               | 0,260               |
| $F_{15}(1680)$ | 1680           | 130                 | 0,045               | 0,050               |
| $F_{15}(1990)$ | 1990           | 375                 | -0,075              | -0,550              |
| $G_{16}(2190)$ | 2190           | 400                 | -0,175              | -0,240              |
| $G_{16}(2250)$ | 2250           | 450                 | -0,375              | -0,700              |
| $H_{16}(2220)$ | 2220           | 450                 | -0,120              | -0,700              |

Теперь, полагая  $\Gamma_{\eta p}/\Gamma_r=0,50$ , получим инвариантную спиральную амплитуду фотовозбуждения этого резонанса  $A_{1/2}=0,110 \text{ ГэВ}^{-1/2}$ . И наоборот, выбирая  $A_{1/2}=0,09 \text{ ГэВ}^{-1/2}$ , как советуют авторы работы [11], получим  $\Gamma_{\eta p}/\Gamma_r=0,74$ . Это означает, что вклад резонанса  $S_{11}(1535)$  в исследуемый процесс оказывается большим, чем это следует из рекомендаций [11]. Вместе с тем, наше значение для амплитуды  $A_{1/2}$  фотовозбуждения резонанса  $S_{11}(1535)$  находит-



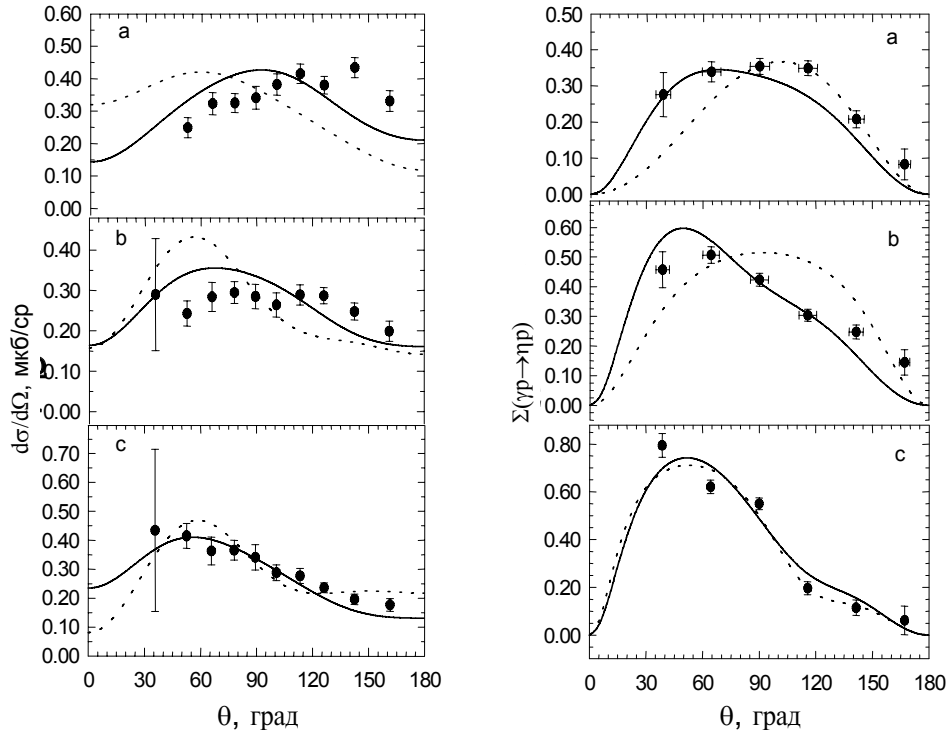
**Рис. 1.** Зависимость интегрального сечения процесса  $\gamma p \rightarrow \eta p$  от энергии фотонов  $K_0$  в лабораторной системе. Результат данной работы показан сплошной кривой, а точечной кривой — результат работ [12, 13]. Экспериментальные данные из работ: o — [14]; • — [15]

ся в хорошем согласии с тем, что получили авторы работы [9] ( $A_{1/2} = 0,118 \text{ ГэВ}^{-1/2}$ ). О полученных в настоящей подгонке свойствах резонанса  $S_{11}(1650)$  можно сказать тоже, что сказано о полученных свойствах резонанса  $S_{11}(1535)$ : если  $\Gamma_{\pi\rho}/\Gamma_r = 0,1$ , то  $\Gamma_r/\Gamma_r \approx 0,34 \%$ ,  $A_{1/2} = 0,093 \text{ ГэВ}^{-1/2}$ , что в 2 раза превышает верхний предел этих величин рекомендованных все той же работой [11]. Для резонанса  $P_{13}(1720)$  величины  $\gamma^{E,M}$ , полученные из подгонки (табл. 3) приводят к следующему отношению спиральных амплитуд фотозвуждения этого резонанса  $A_{1/2}/A_{3/2} = -0,34$ , в то время как рекомендованное работой [11] для этого резонанса отношение есть  $-1$ , причём амплитуды одинаковой спиральности имеют здесь разные знаки. Наконец, для резонанса  $D_{13}(1675)$  имеем  $A_{1/2}/A_{3/2} = -5,0$  вместо рекомендованного отношения  $+1,27$  [11]. Более детальные сведения об электромагнитных вершинах возбуждения резонансов могут быть получены из приводимых в табл. 3 результатов, если иметь данные об отношениях  $\Gamma_{\pi\rho}/\Gamma_r$  этих резонансов.

Рассчитанные угловые распределения мезонов  $d\sigma/d\Omega(\theta)$  отлично согласуются с результатами экспериментов двух лабораторий — MAMI (Германия), GRAAL (Франция) до энергии налетающих фотонов  $K_0 \approx 950 \text{ МэВ}$  и в этой статье не приводятся (см. работы [12, 13]). При более высоких энергиях вы-

численные  $d\sigma/d\Omega(\theta)$  имеют явно выраженное понижение на передних углах (о котором так же говорится в работе [9]), хотя это понижение не зафиксировано явно в эксперименте [15]. Некоторые результаты в области фотонной энергии  $1 \text{ ГэВ}$ , полученные в настоящей работе и более ранних [12, 13], показаны на рис. 2 в сравнении с экспериментальными данными. Можно говорить, что модель с одиннадцатью резонансами не хуже согласуется с экспериментом при низких энергиях, чем низкоэнергетическая модель. Заметим, что максимумы в угловой зависимости  $\Sigma$ -симметрии,  $\Sigma(\theta)$ , для  $K_0 > 950 \text{ МэВ}$  в предлагаемой модели достигаются при тех же углах ( $\theta \approx 50^\circ$ ), что и максимумы  $d\sigma/d\Omega(\theta)$  для соответствующих энергий, и это аргументирует столь резкое увеличение экспериментальных  $\Sigma(\theta)$  в окрестности энергий фотонов  $1 \text{ ГэВ}$  (рис. 2).

На рис. 3 и 4 показаны полные сечения процесса (1) для энергий фотонов  $K_0 > 1 \text{ ГэВ}$ . Если не учитывать фон вообще, то интегральное сечение процесса (1) слишком быстро уменьшается до нуля (даже если учитывать не 6, а 11 резонансов), доказывая неправомерность продолжения модели без фона в область высоких энергий. Поведение сечения также некорректно без формфакторов в  $(V/N)$  — вершинах при учете вклада векторных мезонов (см. штриховую кривую на рис. 3). Заметного раз-



**Рис. 2.** Дифференциальные сечения  $d\sigma/d\Omega$  процесса  $\gamma p \rightarrow \pi p$  в зависимости от угла вылета мезона  $\theta$  в с.ц.м. для энергий налетающих фотонов  $K_0$  в лабораторной системе: а) 981 МэВ, б) 1029 МэВ, в) 1075 МэВ. Экспериментальные данные из работы [15].

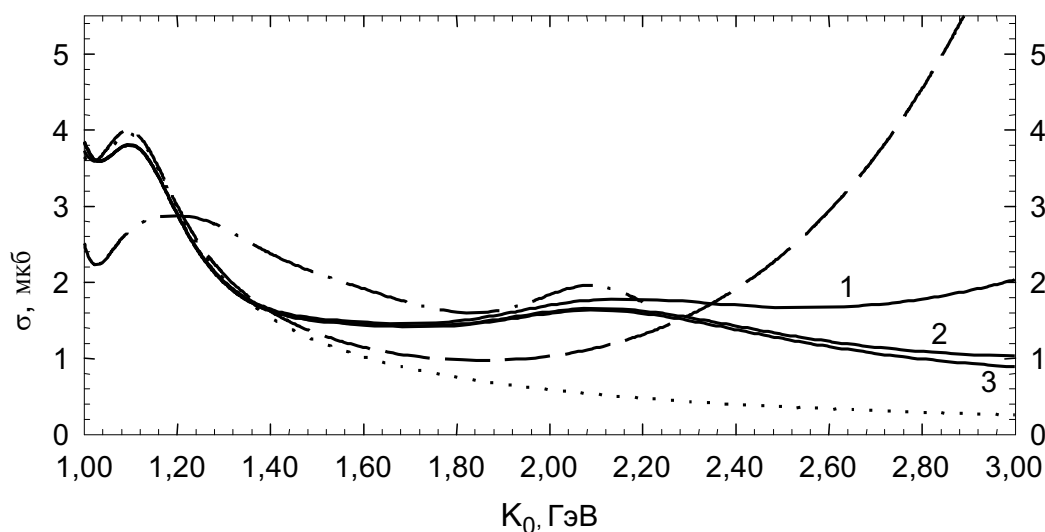
Пучковая  $\Sigma$ -асимметрия процесса  $\gamma p \rightarrow \pi p$  в зависимости от угла вылета мезона  $\theta$  в с.ц.м. для энергий фотонов  $K_0$  в лабораторной системе: а) 931 МэВ, б) 991 МэВ, в) 1056 МэВ. Экспериментальные данные из работы [16]. Результаты вычислений по модели, основанной на свойствах резонансов из табл. 3, изображены сплошными кривыми. Точечные кривые — результат модели [12, 13]

личия между полными сечениями с различными фонами при использовании наборов табл. 1 нет вплоть до энергии фотонов  $K_0 = 1,9$  ГэВ, но затем оно появляется и становится значительным (см. рис. 3, 4). Изучать вклады тяжёлых резонансов в полное сечение на таком модельно зависимом фоне затруднительно. Поэтому в качестве ориентиров для продолжения амплитуды процесса  $\gamma p \rightarrow \eta p$  во всю резонансную область, были выбраны большие положительные значения величины  $\Sigma(\theta)$  при малых углах вылета мезонов, начиная с полной энергии  $W = 1687$  МэВ и выше, измеренные в работе

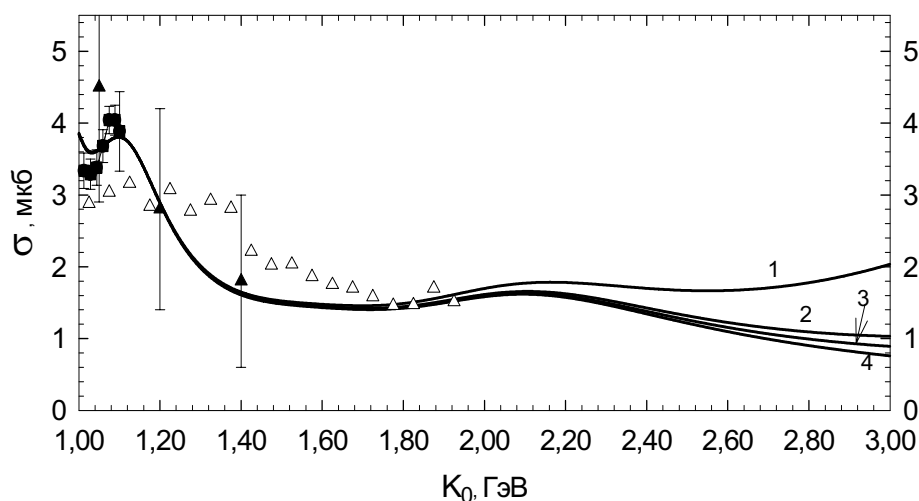
[16]\* и в более ранней работе [18] для энергий фотонов  $K_0 = 1,39; 1,53$  и  $1,8$  ГэВ.

Количество тяжёлых резонансов, включённых в анализ, ограничило условием наличия у них статуса "четырёх звёздочек" [11]:  $F_{17}(1990)$ ,  $G_{17}(2190)$ ,  $G_{19}(2250)$ ,  $H_{19}(2220)$ . При этом необходимо было следить, чтобы включение дополнительного  $D_{15}(1675)$  и тяжёлых резонансов не ухудшило согласия с экспериментом, достигнутого ранее для низких энергий. Как показали расчёты, включение тяжёлых резонансов существенно влияет на  $\Sigma$ -асимметрию и меньше – на дифференциальные

\* На самом деле для подгонки у автора имелись не опубликованные данные коллаборации GRAAL по  $\Sigma$ -асимметрии процесса (1) для энергии фотонов  $K_0 = 1,1 \dots 1,5$  ГэВ. Величина  $\Sigma$  имела большее значение и знак "плюс" во всей указанной области энергий



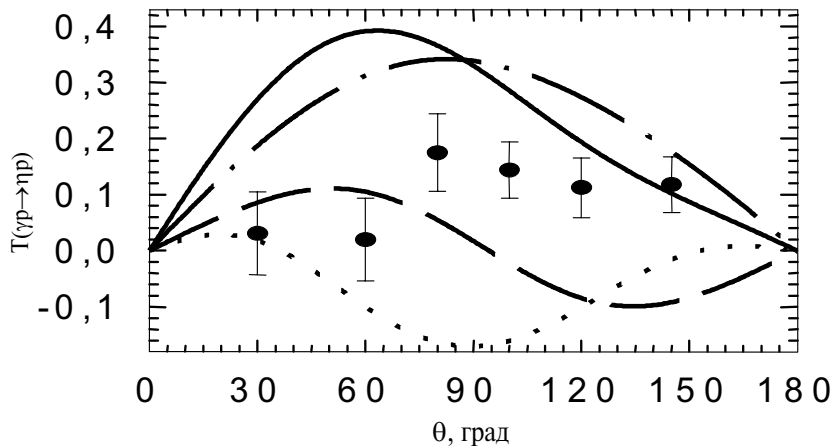
**Рис. 3.** Зависимость интегрального сечения процесса  $\gamma p \rightarrow \eta p$  от энергии фотонов  $K_0$  в лабораторной системе. Сплошные кривые 1–3 соответствуют результатам вычислений с вкладом векторных мезонов как в работах [5], [6] и [9], соответственно (табл. 1) и параметрами резонансов из табл. 3. Результат экстраполяции низкоэнергетической модели без фона [12, 13] показан точечной линией, а с вкладом векторных мезонов как в работе [5], но с  $G'(t) = 1$  – штриховой. Штрихпунктирная кривая – результат расчёта сечения по модели работы [8, решение B2]



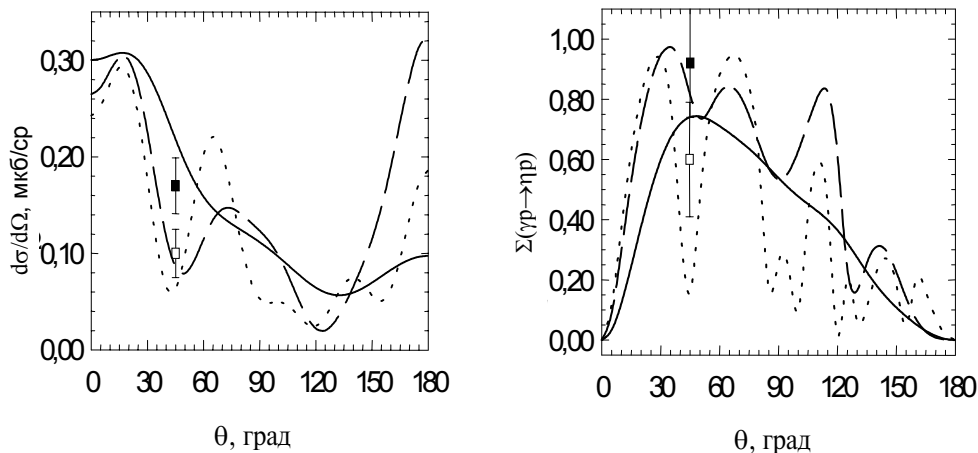
**Рис. 4.** Зависимость интегрального сечения процесса  $\gamma p \rightarrow \eta p$  от энергии фотонов  $K_0$  в лабораторной системе. Сплошные кривые 1–4 результаты вычислений с вкладом векторных мезонов как в работах [5], [6], [9] и [10] соответственно (табл. 1) и параметрами резонансов из табл. 3. Экспериментальные данные из работ:  $\bullet$  – [15];  $\blacktriangle$  – [17];  $\triangle$  – [19]

и полные сечения процесса (1) при низких энергиях. На первый взгляд кажется, что тяжёлые резонансы должны иметь заметный вклад в сечение (см. табл. 3), но из-за большой периферийности взаимодействия (большие  $L$ ) эти вклады незначительны, а на рис. 3 и 4 наблюдается лишь суммарный их эффект. Наиболее связанным с процессом (1) среди тяжёлых резонансов согласно нашей модели оказался резонанс  $G_{19}(2250)$ . Необходимо отметить, что результаты изменения работы [19] (СЕВАФ, США) не были известны автору при построении данной модели процесса (1), но приводятся на рис. 4 (без статистических ошибок, которые малы) для сравнения. Измеренные в этом эксперименте сечения хорошо согласуются с ре-

зультатами эксперимента в Гренобле [15] при  $K_0 = 0,75...1,0$ , но различаются при  $K_0 = 1,0...1,1$  ГэВ. По мнению авторов работы [10] это противоречие не принципиальное и может быть устранено изменением экстраполяции дифференциальных сечений, измеренных в [15] в сторону уменьшения соответствующих полных. Если ориентироваться на эксперимент работы [19], то в интервале  $K_0 = 1,2...1,8$  ГэВ наша модель не воспроизводит результаты этого эксперимента (см. рис. 4). Впрочем, подобное разногласие с экспериментальными данными работы [19] обнаруживают и другие модели процесса (1) [10] и вполне возможно для устранения этого разногласия потребуется привлечение ещё не известного  $s$ -волнового резонанса с массой  $1,8$  ГэВ/ $c^2$ ,



**Рис. 5.** Зависимость  $T$ -асимметрии процесса (1) от угла вылета мезона  $\theta$  в с.ц.м. при  $K_0 = 857$  МэВ в лабораторной системе. Сплошная, штрих и штрихпунктирная кривые — результаты расчёта по данной модели с вкладом всех резонансов, только без резонанса  $P_{13}(1720)$  и только без резонанса  $D_{13}(1675)$ , соответственно. Точечная кривая — результат расчёта по модели из работ [12, 13]. Экспериментальные данные работы [20]

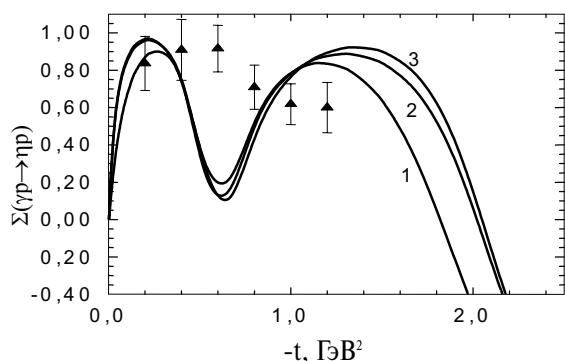


**Рис. 6.** Зависимость от угла вылета мезонов в системе центра масс, для энергий налетающих фотонов в лабораторной системе  $K_0 = 1,39$  ГэВ (сплошная кривая);  $K_0 = 1,80$  ГэВ (штриховая кривая);  $K_0 = 2,5$  ГэВ (точечная кривая) дифференциальных сечений  $d\sigma/d\Omega$  и пучковой  $\Sigma$ -асимметрии процесса  $\gamma p \rightarrow \eta p$ . Экспериментальные данные из работы [18]; затемнённые квадраты относятся к энергии  $K_0 = 1,39$  ГэВ, светлые квадраты к  $K_0 = 1,8$  ГэВ

как об этом заявляют авторы цитируемых работ. Однако, противоречия результатов эксперимента двух лабораторий для полных сечений процесса (1) при  $K_0 > 1,0$  ГэВ должны быть разрешены самими экспериментаторами, а поэтому преждевременно вводить в существующие изобарные модели этот резонанс.

Удивительно, но существующий тридцать лет мультипольный анализ процесса  $\gamma p \rightarrow \eta p$  [8] не противоречит новым экспериментальным данным [19] при  $K_0 > 1$  ГэВ (см. рис. 3, 4).

Вычисленная около порога реакции асимметрия  $T(\theta)$  (6) в нашей модели, положительна, практически не зависит от величины борновского вклада (нуклонного полюса), от используемых формфакторов, выбираемых для  $(VNN)$  – вершин, и, качественно, согласуется с боннскими результатами [20] (рис. 5). На рисунке также показана чувствительность этой рассчитанной физической величины к вкладу резонанса  $P_{13}(1720)$  и  $D_{13}(1675)$ . Заметим, что раннее предложенная модель [12, 13] противоречила эксперименту (см. точечную кривую).



**Рис. 7.** Зависимость  $\Sigma$ -асимметрии процесса  $\gamma p \rightarrow \eta p$  от квадрата переданного четырёхимпульса  $-t$  для мезонов из работ [5]; [6]; и [9], соответственно и параметрами резонансов из табл. 3. Энергии налетающих фотонов  $K_0 = 3,0$  ГэВ. Кривые 1, 2, 3 – результаты расчётов с вкладом векторных. Экспериментальные данные работы [17]

Предсказания нашей модели для дифференциальных сечений и пучковой  $\Sigma$ -асимметрии при энергиях налетающих фотонов 1,39, 1,8 и 2,5 ГэВ показаны на рис. 6. Обращает на себя внимание то, что каждая из форм угловой зависимости диффе-

ренциального сечения и  $\Sigma$ -асимметрии процесса (1) остаются подобными себе при изменении энергии от 1,8 до 2,5 ГэВ. На рис. 7 показана зависимость вычисленной  $\Sigma$ -асимметрии исследуемого процесса от квадрата переданного четырёхимпульса в сравнении с экспериментальными данными для  $K_0 = 3,0$  ГэВ. Согласие удовлетворительное. Хочется остановиться на том, что формфакторы  $G^V(t)$ , от которых значительно зависит полное сечение процесса  $\gamma p \rightarrow \eta p$  (см. рис. 3) только слабо влияют на величину  $\Sigma$ -асимметрии этого процесса при малых  $|t|$  ( $< 1,5$  ГэВ<sup>2</sup>/с<sup>2</sup>). Поэтому эту величину можно использовать для определения вклада тяжёлых резонансов в амплитуду процесса (1) при высоких энергиях ( $K_0 \geq 3,0$  ГэВ). Перспективной, на наш взгляд, кажется идея соединения модели Редже с изобарной моделью, как это сделано в работе [10], но такая гибридная модель процесса (1) требует доработки, так как результаты, полученные авторами работы [10] на соединении моделей ( $K_0 = 2 \dots 4$  ГэВ), оставляют желать лучшего.

Рассчитанная поляризация протонов отдачи  $P(\theta, K_0)$  (7) исследуемого процесса в большей степени не согласуется с экспериментом тридцати летней давности [21].

Таким образом, в качестве основного критерия построения модели процесса  $\gamma p \rightarrow \eta p$  при высоких энергиях фотонов ( $K_0 > 2$  ГэВ) эффективно использовать экспериментальные значения  $\Sigma$ -асимметрии процесса при малых абсолютных значениях квадрата переданного четырёхимпульса, так как рассчитываемые  $\Sigma$  слабо зависят от обрезующих множителей, без которых невозможно корректное описание сечения.  $T$  – асимметрия исследуемого процесса чувствительна к вкладу резонансов  $P_{13}(1720)$  и, в меньшей степени,  $D_{13}(1675)$ . Более систематические измерения этой физической величины при больших энергиях желательны для построения реалистической модели, поскольку роль резонанса  $P_{13}(1720)$ , как это следует из наших исследований, большая, а в других изобарных моделях она не значительна [9, 10]. Полные и дифференциальные сечения процесса  $\gamma p \rightarrow \eta p$  для рассматриваемых энергий чувствительны к деталям учёта вкладов векторных мезонов в  $t$ -канал, а потому важны для изучения вклада векторных мезонов.

#### СПИСОК ЛИТЕРАТУРЫ

1. Chew G.F., Goldberger M.L., Low F.E., and Nambu Y. // Phys. Rev. — 1957. — V. 106. — P. 1345.
2. Блатт Дж., Вайскопф В. Теоретическая ядерная физика. — М.: ИЛ, 1954.
3. Bannhold C., and Tanabe H. // Nucl. Phys. A. — 1991. — V.530. — P. 625.
4. Benmerrouche M., and Mukhopadhyay N.C. // Phys. Rev. Lett. — 1991. — V. 67. — P. 1070.
5. Tiator L., Bannhold C., and Kamalov S.S. // Nucl. Phys. A. — 1994. — V. 580. — P. 455.
6. Benmerrouche M., Mukhopadhyay N.C., and Zhang J.F. // Phys. Rev. D. — 1995. — V. 51. — P. 3237.
7. Fix A., and Arenhovel H. // Nucl. Phys. A. — 1997. — V. 620. — P. 457.
8. Hicks H.R., Deans S.E., Jacobs D.T., et al. // Phys. Rev. D. — 1973. — V. 7. — P. 2614.
9. Chiang W.-T., Yang S.N., Tiator L., and Drechsel D. // Nucl. Phys. A. — 2002. — V. 700. — P. 429.
10. Chiang W.-T., Yang S.N., Tiator L., Vanderhaeghen M., and Drechsel D. LANL nucl-th/0212106.
11. Particle Data Group // Eur. Phys. J. C. — 2000. — V. 15. — P. 1.

12. Трясучёв В.А. // Изв. вузов. Физика. — 2001. — № 7. — С. 3.
13. Tryasuchev V.A. // Physics of Atomic Nuclei. — 2002. — V. 65, No. 9. — P. 1717.
14. Krusche B., Ahrens J., Anton G., et al. // Phys. Rev. Lett. — 1995. — V. 74. — P. 3736.
15. Renard F., Anghinolfi M., Bartalini O., et al. // Phys. Lett. B. — 2002. — V. 528. — P. 215.
16. Ajaka J., Anghinolfi M., Bellini V., et al. // Phys. Rev. Lett. — 1998. — V. 81. — P. 1797.
17. ABBNMM-collaboration // Phys. Rev. — 1968. — V. 175. — P. 1669.
18. Вартапетян Г.А., Пилипосян С.Е. // Ядерная физика. — 1980. — Т. 32, № 6. — С. 1553.
19. Dugger M., Ritchie B.G., Ball J., et al. // Phys. Rev. Lett. — 2002. — V. 89. — P. 2202.
20. Bock A., et al. // Phys. Rev. Lett. — 1998. — V. 81. — P. 534.
21. Heusch C.A., Prescott C.Y., Rochester L.S., et al. // Phys. Rev. Lett. — 1970. — V. 25. — P. 1381.